

NaY(WO₄)₂:Eu³⁺/Tb³⁺/Tm³⁺白色荧光粉的制备与发光性能

刘 艳 姜营营 刘桂霞* 王进贤 董相廷 于文生

(长春理工大学化学与环境工程学院,应用化学与纳米技术吉林省高校重点实验室,长春 130022)

摘要:采用溶剂热法合成了一种单一相白色荧光粉 NaY(WO₄)₂:Eu³⁺, Tb³⁺, Tm³⁺。通过 X 射线衍射(XRD)、扫描电镜(SEM)、X 射线能谱(EDS)及荧光光谱(PL)对制备的系列样品的物相、形貌和荧光性质进行了表征。结果表明,在荧光粉 NaY(WO₄)₂:x%Eu³⁺, 4% Tb³⁺, 1%Tm³⁺(x=5, 10, 15, 20)中,随着 Eu³⁺掺入量的增加,发光从绿光区进入白光区。同时观察到 Tb³⁺到 Eu³⁺的有效能量传递。

关键词: NaY(WO₄)₂; 溶剂热; 发光; 能量传递

中图分类号: O611.4 O614.33 文献标识码: A 文章编号: 1001-4861(2013)02-0277-06

DOI:10.3969/j.issn.1001-4861.2013.00.050

Preparation and Luminescence Properties of NaY(WO₄)₂:Eu³⁺/Tb³⁺/Tm³⁺ White Light Phosphors

LIU Yan JIANG Ying-Ying LIU Gui-Xia* WANG Jin-Xian DONG Xiang-Ting YU Wen-Sheng

(School of Chemistry and Environmental Engineering, Changchun University of Science and Technology,

Key Laboratory of Applied Chemistry and Nanotechnology at Universities of Jilin Province, Changchun 130022, China)

Abstract: NaY(WO₄)₂ co-doped with Eu³⁺, Tb³⁺ and Tm³⁺ ions white light phosphors were synthesized by solvothermal method. The morphology, phases and optical properties were investigated by scanning electron microscopy (SEM), X-ray diffraction (XRD), X-ray energy dispersive spectroscopy (EDS), and photoluminescent (PL) spectroscopy. The results indicated that in the systems of NaY(WO₄)₂:x%Eu³⁺, 4%Tb³⁺, 1%Tm³⁺ (x=5, 10, 15, 20) phosphors, with the increase of the doped concentration of europium ions, the emission color of the co-doped NaY(WO₄)₂ phosphors can be tuned precisely from green to white. At the same time, a very efficient energy transfer from Tb³⁺ to Eu³⁺ can be observed.

Key words: NaY(WO₄)₂; solvothermal; luminescence; energy-transfer

0 引言

稀土发光材料领域中,真空紫外光激发的荧光材料的研究在过去的几十年里已经成为一个重要的课题。近年来,随着白光 LED 的发展,如何产生量子效率更高更环保的白色荧光粉已成为研究的重点。而用近紫外 LED 芯片激发红,绿,蓝三色荧光粉组合成白光,是目前实现白光 LED 的一种很有发展前景的方法。然而如果采用多相荧光粉混合来

实现白光,荧光粉混合物之间将存在颜色再吸收和配比调控问题,流明效率和色彩还原性能受到较大影响,因此,在单一基质中实现白光发射具有重要的意义。早在 2004 年, Kim^[1] 就报道了有关 Sr₃MgSi₂O₈:Eu²⁺, Mn²⁺ 单一相白光荧光粉的研究。之后, Ma^[2] 等采用高温固相法合成(Y_{0.95-x}Tm_{0.01}Tb_xEu_{0.04})₂GeO₅ 荧光粉,发现随着 Tb³⁺掺入量的增加,荧光粉实现从冷白光到暖白光的转变。Sotiriou^[3] 以 Y₂O₃ 为基质,研究了 Eu³⁺/Tb³⁺ 双掺的荧光粉的发光性能。发

收稿日期:2012-06-27。收修改稿日期:2012-10-06。

国家自然科学基金(No.51072026, 50972020)和吉林省科技发展计划(No.20090528)资助项目。

*通讯联系人。E-mail:liuguixia22@yahoo.com.cn

现随着 Eu^{3+} 浓度的增加, 发光由绿光向红光过渡, 同时, 研究了 Tb^{3+} 向 Eu^{3+} 的能量传递过程。目前, 利用近紫外 LED 芯片发出的近紫外光激发 RGB 三基色荧光粉是得到白光的主要实现形式之一^[4]。Shang^[5] 制备了 $\text{Sr}_3\text{AlO}_4\text{F}:0.10\text{Tm}^{3+}, 0.10\text{Tb}^{3+}, z\text{Eu}^{3+}$ ($z=0\sim0.20$) 荧光粉, 在用 UV-InGaN LED 发射波长(360 nm) 激发下, 荧光粉同时产生三基色——红(Eu)、绿(Tb)、蓝(Tm) 色发光, 复合发射白光。

钨酸盐作为固体材料的一个重要组成部分, 其优异的光学、电学等性能使其在闪烁晶体、激光介质、催化等领域有着重要的应用价值^[6]。钨酸盐发光材料中的钨酸根可以有效吸收紫外线(UV)、X 射线等能量, 并传递给激活离子, 使荧光粉具有特殊性质的发光, 并且控制掺杂稀土离子的种类及浓度可实现单一基质中多色发光, 这对研制单一相白色荧光粉具有重要的意义。钨酸盐体系中的复式钨酸钠盐 $\text{NaRE}(\text{WO}_4)_2$ ($\text{RE}=\text{Gd}, \text{La}, \text{Y}$) 具有类似于 CaWO_4 的白钨矿结构, 该结构的材料具有很好的热稳定性及化学稳定性, 同时具有很好的光学性能, 过往一直被用作激光材料^[7-8]。然而, 最近几年, 人们开始研究稀土离子掺杂复式钨酸盐荧光粉, 但是大多研究都是针对单一稀土离子的掺杂, 特别是 Eu^{3+} 掺杂的复式钨酸盐红色荧光粉颇多。例如: Eu^{3+} 掺杂的 $\text{NaLa}(\text{WO}_4)_2$ ^[9], $\text{NaY}(\text{WO}_4)_2$ ^[10-13], $\text{KGd}(\text{WO}_4)_2$ ^[14], $\text{NaY}(\text{WO}_4)_{2-x}(\text{MoO}_4)_x$ ^[15] 等红色荧光粉。另外, Eu^{3+} 单掺也能获得白色荧光粉, Zheng^[16] 运用 WO_4^{2-} 的蓝光发射和 Eu^{3+} 的红橙光复合发射白光这一机理, 制备了 $\text{NaY}(\text{WO}_4)_2:\text{Eu}^{3+}$ 白色荧光粉, 色坐标为($x=0.317, y=0.267$)。

本文采用溶剂热法合成了 $\text{NaY}(\text{WO}_4)_2:x\%\text{Eu}^{3+}, 4\%\text{Tb}^{3+}, 1\%\text{Tm}^{3+}$ ($x=5, 10, 15, 20$) 系列荧光粉, 研究 Tm^{3+} 、 Tb^{3+} 和 Eu^{3+} 在 $\text{NaY}(\text{WO}_4)_2$ 纳米材料中的发光机理及能量传递过程, 通过调节 Eu^{3+} 的掺入量实现多色发光和白色发光, 从而获得单一相白色荧光粉。

1 实验部分

1.1 实验试剂

氧化钇、氧化铕、氧化铽、氧化铥(纯度: 99.99%, 上海跃龙有色金属有限公司), 钨酸钠(纯度: 99.50%, 国药集团化学试剂有限公司), 乙二醇(纯度: 96.0%, 北京化工厂), 无水乙醇(纯度: 95.0%, 天津市富宇精细化工有限公司), 浓硝酸(纯度: 分析纯, 北京化工厂)。

1.2 样品的制备

1.2.1 稀土硝酸盐的制备

称取一定量的 Y_2O_3 、 Eu_2O_3 、 Tb_2O_7 和 Tm_2O_3 , 分别加入 5 mL 浓度为 $15 \text{ mol}\cdot\text{L}^{-1}$ 的硝酸溶液中, 加热使其完全溶解。继续加热, 除去多余的硝酸, 待冷却到室温, 结晶、加入去离子水溶解、定容, 配制成 $0.1 \text{ mol}\cdot\text{L}^{-1}$ 的硝酸钇溶液、 $0.05 \text{ mol}\cdot\text{L}^{-1}$ 的硝酸铕溶液、 $0.05 \text{ mol}\cdot\text{L}^{-1}$ 的硝酸铽溶液和 $0.05 \text{ mol}\cdot\text{L}^{-1}$ 的硝酸铥溶液, 备用。

1.2.2 稀土掺杂的 $\text{NaY}(\text{WO}_4)_2$ 荧光粉的制备

取 $0.1 \text{ mol}\cdot\text{L}^{-1}$ 的硝酸钇溶液、 $0.05 \text{ mol}\cdot\text{L}^{-1}$ 的硝酸铕溶液、 $0.05 \text{ mol}\cdot\text{L}^{-1}$ 的硝酸铽溶液、 $0.05 \text{ mol}\cdot\text{L}^{-1}$ 的硝酸铥溶液按照一定物质的量比 ($n_{\text{Y}}:n_{\text{Tm}}:n_{\text{Tb}}:n_{\text{Eu}}=90:1:4:5, 85:1:4:10, 80:1:4:15, 75:1:4:20$) 混合, 混合均匀后加入 8 mL 乙二醇, 连续搅拌 20 min, 得溶液 A; 称量 0.659 7 g 的 $\text{Na}_2\text{WO}_4\cdot2\text{H}_2\text{O}$, 加适量去离子水溶解, 得溶液 B。溶液 A 和 B 中 $V_{\text{乙二醇}}:V_{\text{水}}=1:4$ 。将溶液 B 逐滴滴加到溶液 A 中, 继续搅拌 30 min 后, 移入反应釜中, 在 180 °C 的水热条件下反应 16 h, 取釜, 待反应釜温度降至常温后, 离心分离(8 000 $\text{r}\cdot\text{min}^{-1}$, 5 min), 分别用去离子水和乙醇洗涤若干次, 60 °C 条件下干燥 12 h, 得到样品。

1.3 测试仪器

采用 XD-2X 型 X 射线衍射仪进行物相分析和晶体结构分析, 使用 Cu 靶 $K\alpha$ 辐射, 波长为 0.154 056 nm, 采用 Ni 做滤波片。工作电流和电压分别是 20 mA, 30 kV, 扫描速度、步长和衍射范围分别是 $10^\circ\cdot\text{min}^{-1}$ 、 0.1° 和 $10^\circ\sim80^\circ$ 。样品的形貌通过 FEI 公司的 XL-30 型场发射环境扫描电子显微镜进行观察。采用日本 HITACHI 公司的 F-7000 型荧光光谱仪对样品的发光性能进行测试分析, 测量范围为 200~800 nm, 扫描速率为 $1200 \text{ nm}\cdot\text{min}^{-1}$, 步长为 0.2 nm, 采用 Xe 灯做激发源。

2 结果与讨论

2.1 X 射线衍射分析

图 1 为溶剂热法合成的 $\text{NaY}(\text{WO}_4)_2:x\%\text{Eu}^{3+}, 4\%\text{Tb}^{3+}, 1\%\text{Tm}^{3+}$ ($x=5, 10, 15, 20$) 的 XRD 图。从图中可以看出, 在 (101)(112)(004)(200)(211)(204)(220)(116)(312)(224)(208) 等处出现了一系列的衍射峰, 与标准卡片(PDF No.48-0886)完全吻合, 最强衍射峰位于 (112) 晶面处, 说明合成的样品为四方晶系 ($a=b=0.5205 \text{ nm}, c=1.1251 \text{ nm}$) 的 $\text{NaY}(\text{WO}_4)_2:\text{Eu}^{3+}, \text{Tb}^{3+}$ 和

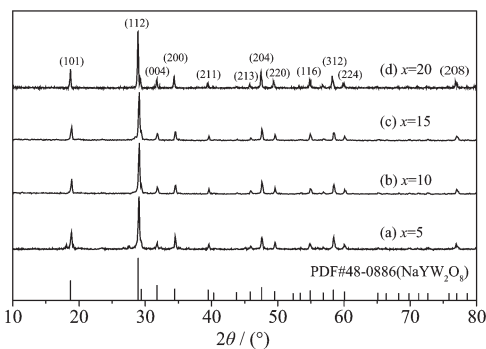


图1 PDF卡片(No.48-0886)和样品NaY(WO₄)₂:x%Eu³⁺, 4%Tb³⁺, 1%Tm³⁺的XRD图

Fig.1 PDF card (No.48-0886) and XRD patterns of NaY(WO₄)₂:x%Eu³⁺, 4%Tb³⁺, 1%Tm³⁺ samples

Tm³⁺对 Y³⁺的取代没有显著的改变 NaY(WO₄)₂ 的晶相结构, 空间点群 I4₁/a(88)。晶型很好, 物相单一, 没

有任何杂峰相。

2.2 扫描电镜和能谱分析

图2为180 °C, 16 h溶剂热法合成的NaY(WO₄)₂:5%Eu³⁺, 4%Tb³⁺, 1%Tm³⁺在不同放大倍数下的SEM照片, 从照片中可以看出, 样品呈立方体结构, 表面比较光滑, 粒径为400 nm左右。

为了进一步确定所制得的样品的组成, 对其进行了EDS分析。如图3所示, 可以观察到W、O、Na、Y、Si和Au元素的谱峰, 因为样品中Eu、Tb、Tm的掺入量较少, 所以只见很弱的Eu的谱峰, 而未见Tb、Tm的谱峰。而Si、Au元素来源于制样过程, 因为样品是滴在Si片上经过镀金膜后进行测试的。W、O、Na和Y4种元素来自于样品, 结合前面的XRD分析, 认为合成样品为稀土掺杂的NaY(WO₄)₂。

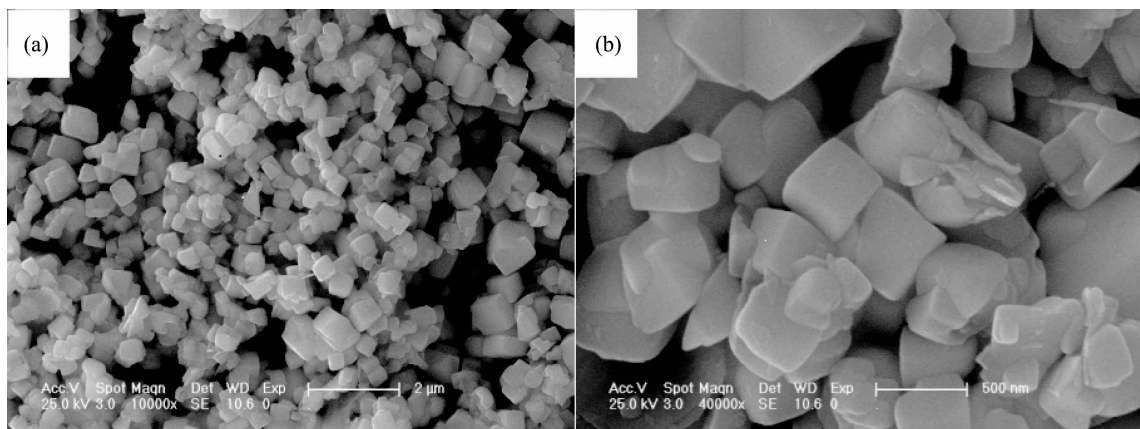


图2 NaY(WO₄)₂:5%Eu³⁺, 4%Tb³⁺, 1%Tm³⁺的SEM照片

Fig.2 SEM images of NaY(WO₄)₂:5%Eu³⁺, 4%Tb³⁺, 1%Tm³⁺

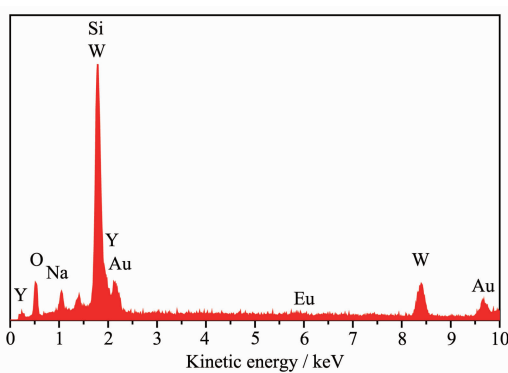


图3 样品的EDS谱图

Fig.3 EDS pattern of samples

2.3 荧光光谱分析

图4为NaY(WO₄)₂:x%Eu³⁺, 4%Tb³⁺, 1%Tm³⁺(x=5, 10, 15, 20)荧光粉在室温下用616 nm(对应于Eu³⁺的

$^5D_0 \rightarrow ^7F_2$ 跃迁)作为监测波长下的激发光谱图。该激发光谱是由一个宽的激发带和一组锐线峰两部分组成: 200~300 nm范围内有一个宽带峰(中心波长位于246 nm), 此宽带峰属于WO₄²⁻的 $^1A_1 \rightarrow ^1T_1$ 跃迁。同时推测, 由于O²⁻的2p⁶上的电子易转移到Eu³⁺的4f⁶的空轨道上产生Eu³⁺-O²⁻的电荷迁移带^[17], 此宽带峰可能还有Eu³⁺-O²⁻带的贡献。应用Jørgensen提出的经验公式近似地估算Eu³⁺的电荷转移带的位置大约为228 nm^[18-19], 显然, 200~300 nm这一宽带峰是WO₄²⁻的电荷迁移带的跃迁和Eu³⁺-O²⁻的电荷迁移带的跃迁重叠, 说明此宽带峰是WO₄²⁻和Eu³⁺-O²⁻的电荷转移跃迁(CT)共同作用所引起的, WO₄²⁻与发光中心Eu³⁺间存在能量传递: WO₄²⁻吸收的大部分能量传递给Eu³⁺, 使其非辐射跃迁至 5D_0 能级, 然后再跃迁到 7F_J 能级, 从而发出明亮的可见红光。350

nm 波长以后是一组很强的锐线峰, 是 Eu^{3+} 的 f_f 跃迁($^7F_0 \rightarrow ^5D_2, ^5D_4, ^5L_6, ^5L_7$) 已清楚地在图 4 中标出。其最强锐线峰位于 395 nm, 对应于 Eu^{3+} 离子的 $^7F_0 \rightarrow ^5L_6$ 跃迁, 正好落在近紫外 LED 发射波长(380~410 nm)内。次强锐线峰位于 465 nm 处, 对应的是 Eu^{3+} 的 $^7F_0 \rightarrow ^5D_2$ 跃迁, 说明 395 nm 处的 $^7F_0 \rightarrow ^5L_6$ 跃迁相较于 $^7F_0 \rightarrow ^5D_2$ (465 nm)、 $^7F_0 \rightarrow ^5D_4$ (362 nm)、 $^7F_0 \rightarrow ^5L_7$ (376 nm) 跃迁几率大。由图可知, 随着 Eu^{3+} 掺杂量的增加, Eu^{3+} 的特征峰逐渐增强。

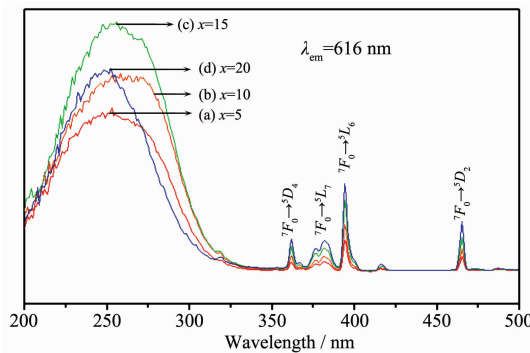


图 4 $\text{NaY}(\text{WO}_4)_2:x\%\text{Eu}^{3+}, 4\%\text{Tb}^{3+}, 1\%\text{Tm}^{3+}$ 样品的激发光谱图(监测波长为 616 nm)

Fig.4 Excitation spectra of $\text{NaY}(\text{WO}_4)_2:x\%\text{Eu}^{3+}, 4\%\text{Tb}^{3+}, 1\%\text{Tm}^{3+}$ samples ($\lambda_{\text{em}}=616$ nm)

在室温下用 545 nm (对应于 Tb^{3+} 的 $^5D_4 \rightarrow ^7F_5$ 跃迁)作为监测波长所得的激发光谱如图 5 所示, 同样观察到 200~300 nm 范围内有一个很明显的宽的激发带, 这是由 WO_4^{2-} 的电荷转移跃迁(CT)所引起的。300~400 nm 范围内有一组较弱的峰, 是 Tb^{3+} 的 7F_5 态跃迁到不同激发态的 f_f 跃迁, 即 $^7F_5 \rightarrow ^5D_0$ (319 nm)、 $^7F_5 \rightarrow ^5G_2$ (339 nm)、 $^7F_5 \rightarrow ^5D_2$ (351 nm)、 $^7F_5 \rightarrow ^5L_{10}$ (357 nm)、 $^7F_5 \rightarrow ^5G_6$ (368 nm)、 $^7F_5 \rightarrow ^5D_3$ (378 nm)。并且观察

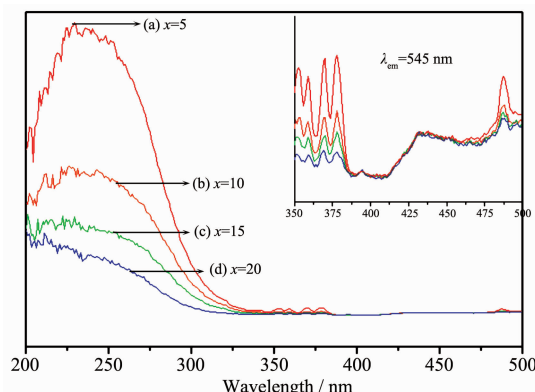


图 5 $\text{NaY}(\text{WO}_4)_2:x\%\text{Eu}^{3+}, 4\%\text{Tb}^{3+}, 1\%\text{Tm}^{3+}$ 样品的激发光谱图(监测波长为 545 nm)

Fig.5 Excitation spectra of $\text{NaY}(\text{WO}_4)_2:x\%\text{Eu}^{3+}, 4\%\text{Tb}^{3+}, 1\%\text{Tm}^{3+}$ samples ($\lambda_{\text{em}}=545$ nm)

到, 随着 Eu^{3+} 掺入量的逐渐增多, Tb^{3+} 的吸收峰逐渐减弱, 说明 Tb^{3+} 和 Eu^{3+} 之间存在着能量传递, Tb^{3+} 把能量传递给了 Eu^{3+} 。

在室温下用 454 nm 作为监测波长时, 激发光谱如图 6 所示, 由内部的放大图可见, 在 359 nm 处有一个明显的激发峰, 对应的是 Tm^{3+} 的 $^3H_6 \rightarrow ^1D_2$ 特征跃迁, 并且随掺入 Eu^{3+} 的量逐渐增多, Tm^{3+} 的该激发峰逐渐减弱。

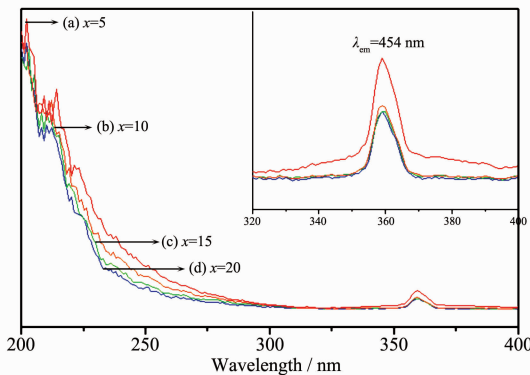


图 6 $\text{NaY}(\text{WO}_4)_2:x\%\text{Eu}^{3+}, 4\%\text{Tb}^{3+}, 1\%\text{Tm}^{3+}$ 样品的激发光谱图(监测波长为 454 nm)

Fig.6 Excitation spectra of $\text{NaY}(\text{WO}_4)_2:x\%\text{Eu}^{3+}, 4\%\text{Tb}^{3+}, 1\%\text{Tm}^{3+}$ samples ($\lambda_{\text{em}}=454$ nm)

图 7 为不同 Eu^{3+} 掺杂量的样品在激发波长 246 nm 处的发射光谱图。 Eu^{3+} 的特征发射峰在 591 nm 处和 616 nm 处, 分别对应 Eu^{3+} 的 $^5D_0 \rightarrow ^7F_1$ 磁偶极跃迁和 $^5D_0 \rightarrow ^7F_2$ 电偶极跃迁, 并且 $^5D_0 \rightarrow ^7F_2$ 电偶极跃迁几率大。一般来说, Eu^{3+} 离子的 $^5D_0 \rightarrow ^7F_2$ 跃迁对发光中心周围的化学环境及其对称性非常敏感, 而 $^5D_0 \rightarrow ^7F_1$ 跃迁不敏感。当 Eu^{3+} 离子在晶体中所处的格位不具有反演对称性时, $^5D_0 \rightarrow ^7F_2$ 电偶极跃迁占主导; 当 Eu^{3+} 离子在晶体中所处的格位具有反演对称性时,

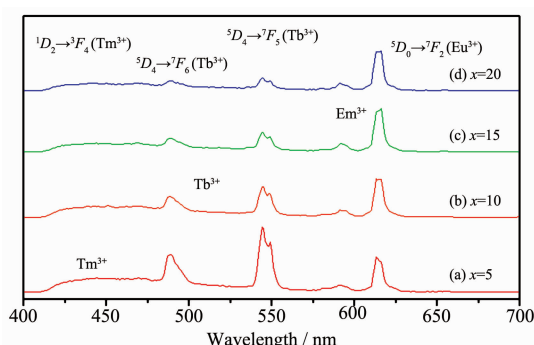


图 7 $\text{NaY}(\text{WO}_4)_2:x\%\text{Eu}^{3+}, 4\%\text{Tb}^{3+}, 1\%\text{Tm}^{3+}$ 样品的发射光谱图(激发波长为 246 nm)

Fig.7 Emission spectra of $\text{NaY}(\text{WO}_4)_2:x\%\text{Eu}^{3+}, 4\%\text{Tb}^{3+}, 1\%\text{Tm}^{3+}$ samples ($\lambda_{\text{ex}}=246$ nm)

⁵D₀→⁷F₁磁偶极跃迁占主导。因此,可以通过⁵D₀→⁷F₂和⁵D₀→⁷F₁跃迁的发光强度比即红橙比(R/O)很好地判断Eu³⁺在晶体中所处格位的对称性。以样品NaY(WO₄)₂:20%Eu³⁺,4%Tb³⁺,1%Tm³⁺为例,经计算R/O的值为5.64,⁵D₀→⁷F₂电子偶极跃迁占主导,这说明了Eu³⁺离子在NaY(WO₄)₂晶格中占据非反演对称中心的位置。

源自于Tb³⁺离子的⁵D₄→⁷F₅电偶极跃迁即545 nm处是Tb³⁺的最强特征发射峰。位于488 nm的特征发射峰对应于Tb³⁺的⁵D₄→⁷F₆跃迁。由图可见:在488 nm(⁵D₄→⁷F₆)、545 nm(⁵D₄→⁷F₅)处Tb³⁺的发射峰强度随着Eu³⁺的掺入量的增加而逐渐减小。这是由于Tb³⁺之间存在交叉弛豫现象,即Tb³⁺(⁵D₃)+Tb³⁺(⁷F₀)→Tb³⁺(⁵D₄)+Tb³⁺(⁷F₀),当2个Tb³⁺的距离一定,通过电偶极-电偶极作用发生交叉弛豫使⁵D₃猝灭,⁵D₄→⁷F₅跃迁的绿光发射增强。Tb³⁺在545 nm处⁵D₄→⁷F₅的发射谱和Eu³⁺的⁷F₀→⁵D₁跃迁的吸收谱基本吻合,发生了Tb³⁺→Eu³⁺的能量传递^[20]。同时,由发射光谱中Tb³⁺的强特征发射峰可以看出,WO₄²⁻与Tb³⁺间存在能量传递,WO₄²⁻将能量传递给Tb³⁺。

而Tm³⁺的¹D₂→³F₄跃迁原本应该出现在454 nm处,但是从图7中未能在此处发现Tm³⁺的特征发射峰。这是由于钨酸盐作为自激活发光材料,无需激活离子的存在,在紫外(UV)、X射线等光源的激发下就可发射出高效的荧光,特征发射峰大约在430 nm附近,对应于WO₄²⁻的¹B(¹T₂)→¹A₁跃迁。同时,由于Tm³⁺的掺杂量较小,Tm³⁺的特征发射峰会相对较弱,导致极易被WO₄²⁻宽的发射峰掩盖,从而未能观察到Tm³⁺的特征发射峰。

为了进一步证明Eu³⁺、Tb³⁺之间的能量传递过程,对Tb³⁺(⁵D₄→⁷F₅)进行了荧光寿命的测试,如图8所示。荧光粉(a)NaY(WO₄)₂:5%Eu³⁺,4%Tb³⁺,1%Tm³⁺(b)NaY(WO₄)₂:10%Eu³⁺,4%Tb³⁺,1%Tm³⁺(c)NaY(WO₄)₂:15%Eu³⁺,4%Tb³⁺,1%Tm³⁺(d)NaY(WO₄)₂:20%Eu³⁺,4%Tb³⁺,1%Tm³⁺的荧光寿命分别为0.909 04 ms、0.744 42 ms、0.730 69 ms、0.709 64 ms。随着掺入Eu³⁺的量逐渐增多,Tb³⁺的荧光寿命逐渐降低。说明Tb³⁺和Eu³⁺之间存在着能量传递过程,能量给予体Tb³⁺将能量传递给能量受体Eu³⁺,此结论与上面的结论相符合。

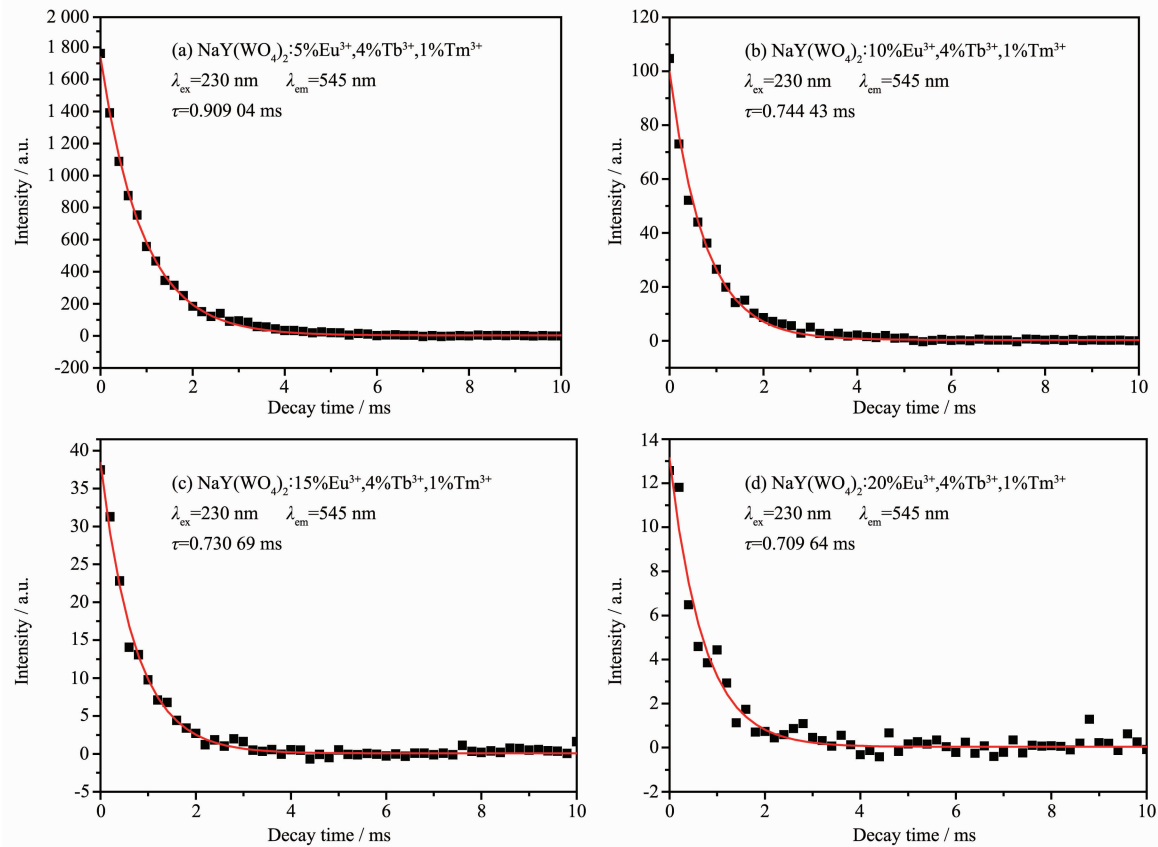
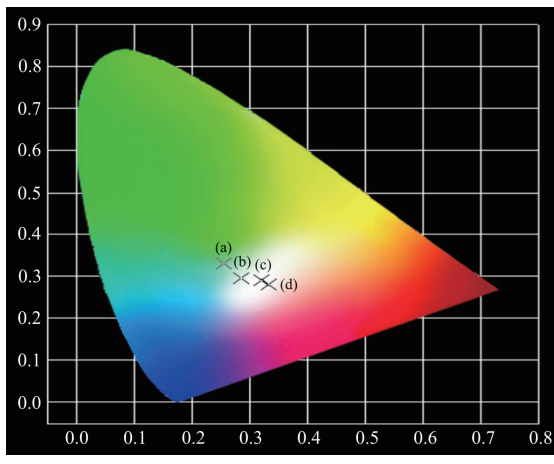


图8 所制备样品的Tb³⁺(⁵D₄→⁷F₅)荧光衰减曲线
Fig.8 Decay curves for Tb³⁺(⁵D₄→⁷F₅) of as-prepared samples

2.4 Eu³⁺的掺杂量对色坐标的影响

图9是NaY(WO₄)₂:4%Tb³⁺, 1%Tm³⁺, x%Eu³⁺(x=5, 10, 15, 20)在246 nm的激发波长下的CIE色度图。从图中可以看出,通过调节Eu³⁺的掺杂量,荧光粉的颜色可调控^[21],从蓝绿光区向白光区移动。荧光粉(a) NaY(WO₄)₂:5%Eu³⁺, 4%Tb³⁺, 1%Tm³⁺ (b) NaY(WO₄)₂:10%Eu³⁺, 4%Tb³⁺, 1%Tm³⁺ (c) NaY(WO₄)₂:15%Eu³⁺, 4%Tb³⁺, 1%Tm³⁺ (d) NaY(WO₄)₂:20%Eu³⁺, 4%Tb³⁺, 1%Tm³⁺的色坐标分别为(0.255, 0.331), (0.285, 0.296), (0.320, 0.290), (0.332, 0.280)。其中NaY(WO₄)₂:15%Eu³⁺, 4%Tb³⁺, 1%Tm³⁺荧光粉的色坐标(0.320, 0.290)与标准白光的色坐标(0.33, 0.33)最为接近。



(a) x=5, (b) x=10, (c) x=15, (d) x=20

图9 NaY(WO₄)₂:x%Eu³⁺, 4%Tb³⁺, 1%Tm³⁺样品的色坐标图

Fig.9 Chromaticity coordinate of NaY(WO₄)₂:x%Eu³⁺, 4%Tb³⁺, 1%Tm³⁺ samples

3 结 论

采用溶剂热法合成了NaY(WO₄)₂:x%Eu³⁺, 4%Tb³⁺, 1%Tm³⁺(x=5, 10, 15, 20)多色发光材料。测试结果表明,Tb³⁺和Tm³⁺的掺杂量不变,随着Eu³⁺的掺入量逐渐增加,Tb³⁺的发射峰逐渐减弱,说明Tb³⁺和Eu³⁺之间存在着能量传递,能量给予体Tb³⁺将能量传递给受体Eu³⁺,这一点从Tb³⁺($^5D_4 \rightarrow ^7F_5$)的荧光寿命逐渐减小能够进一步证明。同时,调节Eu³⁺的掺入量实现了该荧光粉体系的发光颜色可控,从绿光转变到白光。当x=15时,荧光粉的色坐标(0.320, 0.290)与标准白光的色坐标(0.33, 0.33)最为接近。该荧光粉体系实现了单一相白色发光,在无汞荧光灯及白光LED的应用和发展方面具有重要意义。

参考文献:

- [1] Kim J S, Jeon P E, Park Y H, et al. *Appl. Phys. Lett.*, **2004**, **85**(17):3696-3698
- [2] Ma W B, Shi Z P, Wang R. *J. Alloys Compd.*, **2010**, **503**:118-121
- [3] Sotiriou G A, Schneider M, Pratsinis S E. *J. Phys. Chem. C*, **2011**, **115**:1084-1089
- [4] YIN Yan(印琰), YANG Bao-Dong(杨宝东), ZHU Yue-Hua(朱月华), et al. *Chinese J. Rare Earths (Zhongguo Xitu Xuebao)*, **2010**, **28**(5):536-542
- [5] Shang M M, Li G G, Kang X J, et al. *ACS Appl. Mater. Interfaces.*, **2011**, **3**:2738-2746
- [6] Ono T, Ogata N, Miyaro Y. *J. Catal.*, **1996**, **161**:78-
- [7] YOU Zhen-Yu(游振宇), TU Zhao-Yang(涂朝阳), LI Jian-Fu(李坚富). *J. Synth. Cryst. (Rengong Jingti Xuebao)*, **2011**, **40**(5):1087-1092
- [8] LI Hui(李慧), YANG Kui-Sheng(杨魁胜), OI Ning(祁宁), et al. *Chinese J. Inorg. Chem. (Wuji Huaxue Xuebao)*, **2012**, **28**(2):221-226
- [9] Gu J, Zhu Y C, Li H B, et al. *Solid State Sciences*, **2010**(12):1192-1198
- [10] Lei F, Yan B, Chen H H, Zhao J T. *Inorg. Chem.*, **2009**, **48**:7576-7584
- [11] Xue N, Fan X P, Wang Z Y, Wang M Q. *Mater. Lett.*, **2007**, **61**:1576-1579
- [12] QIAN Xian-Hua(钱先华), BO Xi-Peng(蒲锡鹏), ZHANG Da-Feng(张大凤), et al. *Chinese J. Liaocheng Univ.: Nat. Sci. Ed. (Liaocheng Daxue Xuebao)*, **2011**, **24**(1):74-77
- [13] Qian X H, Pu X P, Zhang D F, et al. *J. Lumin.*, **2011**, **131**:1692-1695
- [14] YOU Hang-Ying(游航英), LIAO Jin-Sheng(廖金生), WEN He-Rui(温和瑞), et al. *Chinese J. Rare Earths (Zhongguo Xitu Xuebao)*, **2011**, **29**(2):178-184
- [15] Neeraj S, Kijima N, Cheetham A K. *Chem. Phys. Lett.*, **2004**, **387**(1-3):2-6
- [16] Zheng Y H, You H P, Liu K., et al. *Cryst. Eng. Comm.*, **2011**, **13**:3001-3007
- [17] Neeraj S, Kijima N, Cheetham A K. *Solid State Commun.*, **2004**, **131**(1):65-69
- [18] Gérard I, Krupa J C, Simoni E, et al. *J. Alloys Compd.*, **1994**, **207/208**:120-127
- [19] Wang Y H, Uheda K, Takizawa H, et al. *Electrochim Soc.*, **2001**, **148**(8):G430-G433
- [20] Garca-Rosales G, Mercier-Bion F, Drot R, et al. *J. Lumin.*, **2012**, **132**:1299-1306
- [21] Wu L, Zhang Y, Gui M Y, et al. *Mater. Chem.*, **2012**, **22**:6463-6470